



**UNIVERSIDADE DE COIMBRA**  
**FACULDADE DE CIÊNCIAS E TECNOLOGIA**  
**DEPARTAMENTO DE ENGENHARIA**  
**ELECTROTÉCNICA E DE COMPUTADORES**

# **CONTROLO DIGITAL**



2019/2020  
**URBANO J.C. NUNES**

---

# ÍNDICE

## **MODULO I – Modelo de Entrada-Saída**

<b>I. Sistemas de controlo por computador:</b>	
<b>Introdução e contexto .....</b>	<b>8</b>
<b>II. SLITs discretos, amostragem, relação entre as Transformadas de Laplace e Z.....</b>	<b>20</b>
<b>III. Discretização de SLITs na representação Entrada-Saída.....</b>	<b>55</b>
<b>IV. Controlador PID:</b>	
<b>Contínuo e Discreto.....</b>	<b>80</b>
<b>V. Análise de estabilidade de SLITs discretos.....</b>	<b>94</b>

---

# ÍNDICE

## **PARTE II – Modelo em espaço de estados**

**VI. Modelo de Estado: Contínuo e Discreto....107**

**VII. Discretização em Espaço de Estados.....136**

**VIII. Controlabilidade e  
Observabilidade de Sistemas Lineares.....150**

## **PARTE III – Projeto por colocação de pólos**

**IX. Regulação por realimentação  
das variáveis de estado.....164**

**X. Controlo com observadores  
de estado.....177**

---

# BIBLIOGRAFIA

- 1 G. F. Franklin, J. Powell, and M. Workman, “*Digital Control of Dynamic Systems*”, 3ª edição, Addison – Whesley, 1997.
- 2 K. J. Astrom and B. Wittenmark, “*Computer-Controlled Systems: Theory and Design*”, 3ª edição, Prentice-Hall, 1998.
- 3 U. Nunes, “*Controlo Digital: Exercícios Resolvivos, Exemplos em Matlab/Simulink*”, apontamentos de apoio às aulas práticas, 2005.
- 4 K. Ogata, “*Modern Control Engineering*”, Prentice – Hall.
- 5 B.P. Lathi, “*Linear Systems and Signals*”.
- 6 J. Dabney and T. Harman, “*Mastering Simulink 2*”, Prentice - Hall, Matlab Curriculum series, 1998.
- 7 Diversos documentos (tutoriais, manuais de Matlab e Simulink, etc) disponibilizados no inforestudante.

---

# AULAS PRÁTICAS

- Aulas TP/Práticas (2h/semana)
- Nas aulas práticas os alunos exercitam os conceitos lecionados na componente teórica através da realização de trabalhos de simulação em ambiente Matlab/Simulink.
- Os alunos têm acesso a um conjunto vasto de problemas teórico-práticos resolvidos e outros para resolução.

---

# AULAS PRÁTICAS

- Controlo de presenças
- Realização de trabalhos em ambiente Matlab/Simulink
- Resolução de exercícios teórico/práticos

---

# MÉTODO DE AVALIAÇÃO

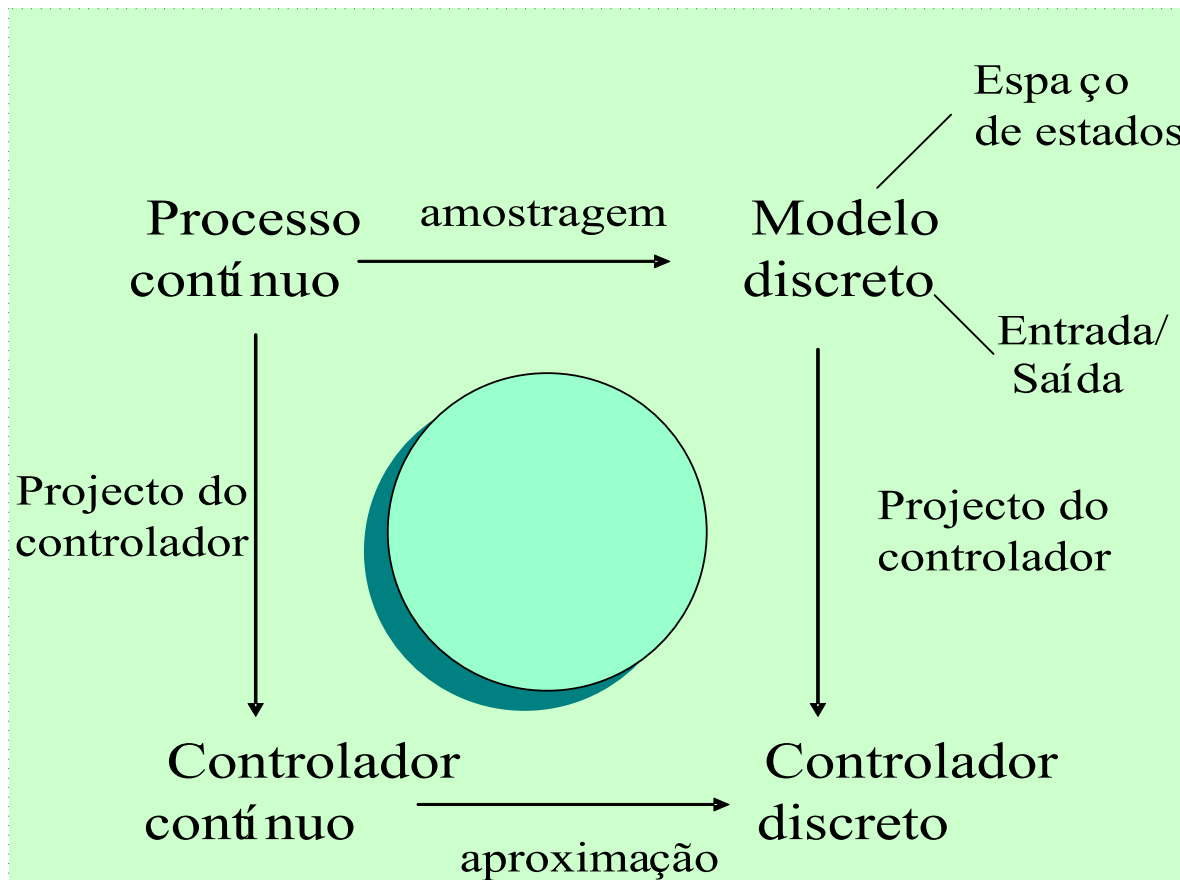
- Componentes de avaliação T/TP/PL :
  - Testes incluem componente de avaliação dos PL/Simulação realizados nas aulas PL;
  - Mini-testes nas aulas T/PL (2 val.) (T/TP/PL)
  - Mini-projeto (facultativo; 6 val.)
- Datas dos testes/exames de avaliação (incluem componentes T/TP/PL):
  - 1º teste/1a freq: 13/nov/2019 13/11 (inclui T/TP/PL) (9 val)
  - 2º teste/2a freq: jan 2020 (inclui T/TP/PL) (9 val)
  - Exame de recurso: data a definir (inclui T/TP/PL) (14 ou 20 val)

---

# CAPÍTULO I

## SISTEMAS LINEARES INVARIANTES NO TEMPO CONTÍNUOS: REVISÕES





## PROJECTO DO CONTROLADOR:

- Colocação de pólos
- LQC
- Métodos clássicos
- etc.

# SINAIS CONTÍNUOS

**Sinusóide Generalizada:**  $e^{st} = e^{(\sigma+j\omega)t}$  exponencial complexa

Uma sinusóide convencional é um sinal oscilatório de amplitude constante. Podemos generalizar a noção de sinusóide para incluir sinusóides com amplitudes exponenciais

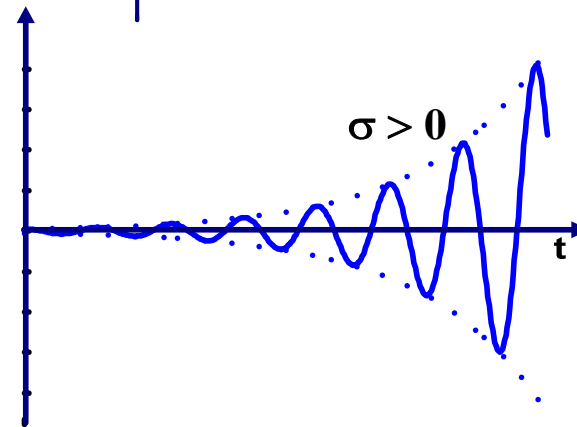
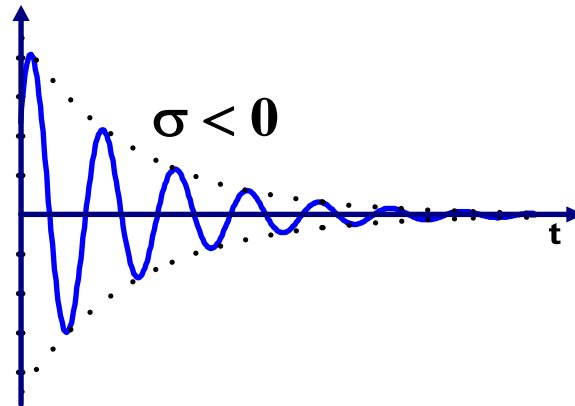
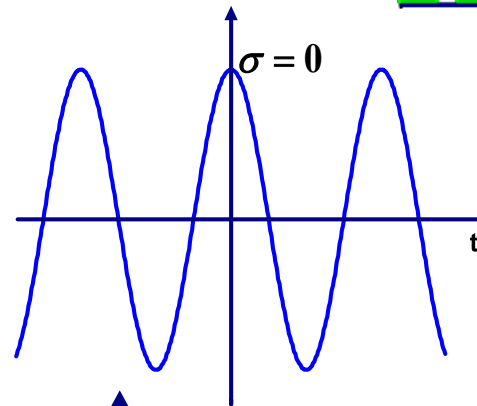
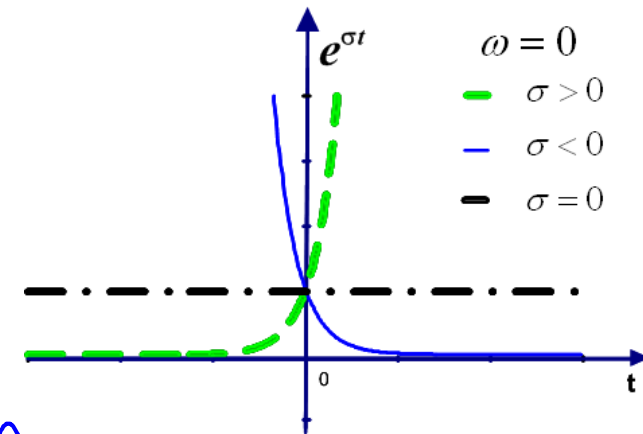
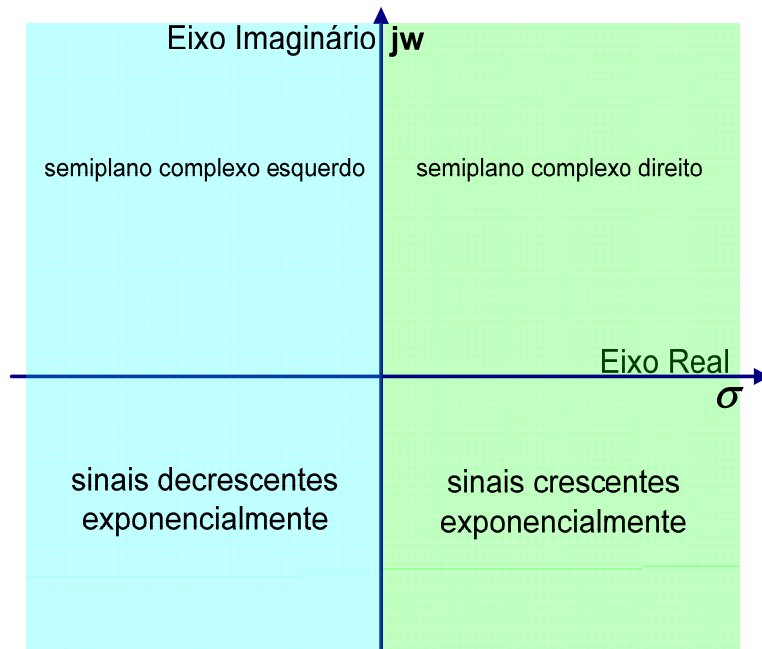
$$x(t) = Ce^{\sigma t} \cos(\omega t + \theta_0)$$

$$x(t) = De^{st} + D^* e^{s^* t}$$

$$\begin{cases} s = \sigma + j\omega \\ s^* = \sigma - j\omega \end{cases} \wedge \begin{cases} D = \frac{C}{2} e^{j\theta_0} \\ D^* = \frac{C}{2} e^{-j\theta_0} \end{cases}$$

- $\sigma$  caracteriza a “natureza transitória do sinal”
- $\omega$  caracteriza a frequência de oscilação do sinal.

# Plano Complexo



Sinusóides de amplitude exponencial de frequência complexa:  $s = \sigma + j\omega$

## SLITs CONTÍNUOS

$$L(D)[y(t)] = L_A(D)[u(t)]; D \equiv \frac{d}{dt}$$

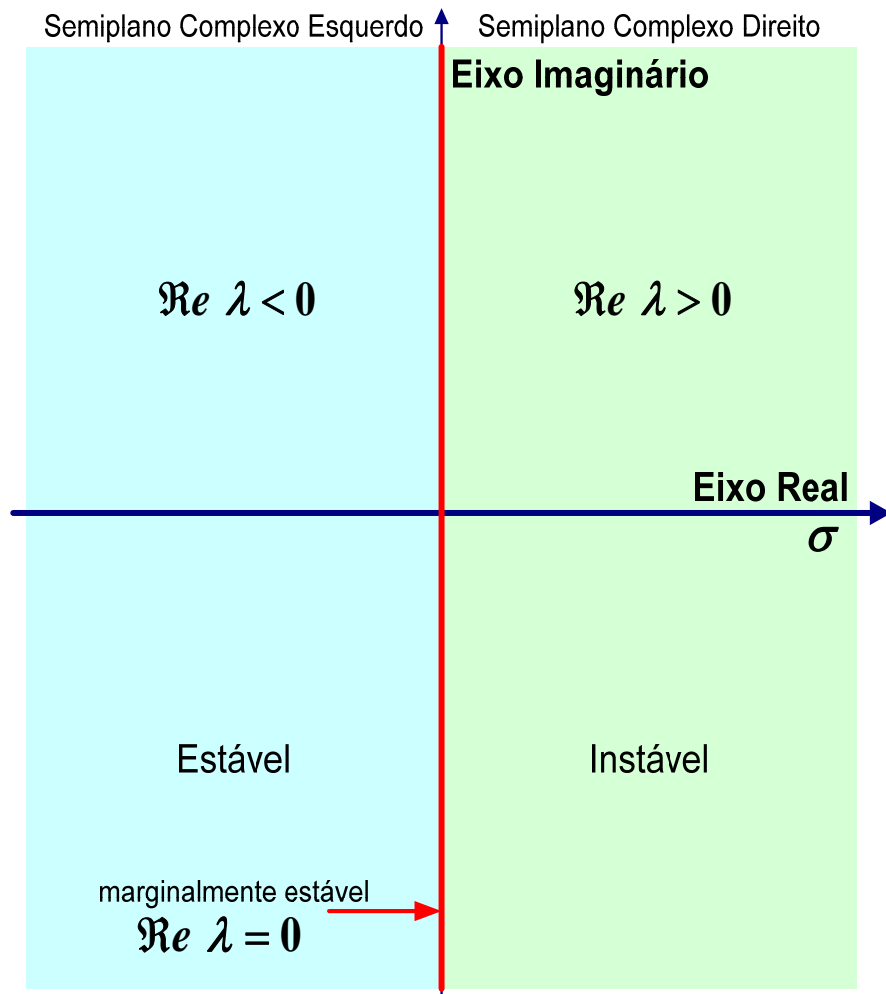
Para um SLIT com **N raízes características distintas**, a resposta total a uma entrada  $u(t)$  é  $y(t) = y_0(t) + h(t) * u(t)$

- $y_0(t) = \sum_{i=1}^N c_i e^{\lambda_i t} \rightarrow$  resposta a entrada nula
- $y_u(t) = h(t) * u(t) \rightarrow$  resposta a  $u(t)$  para estado zero (i.e. condições iniciais nulas)

- $\lambda_i$  são as raízes características do sistema (valores reais ou pares de complexos conjugados)
- a estabilidade do sistema é estabelecida pelas suas raízes características
- a resposta a entrada nula é composta por um somatório de exponenciais complexas (termos ou modos característicos do sistema)
- também  $h(t)$  é uma combinação linear dos termos característicos do sistema

# LOCALIZAÇÃO DAS RAÍZES CARACTERÍSTICAS

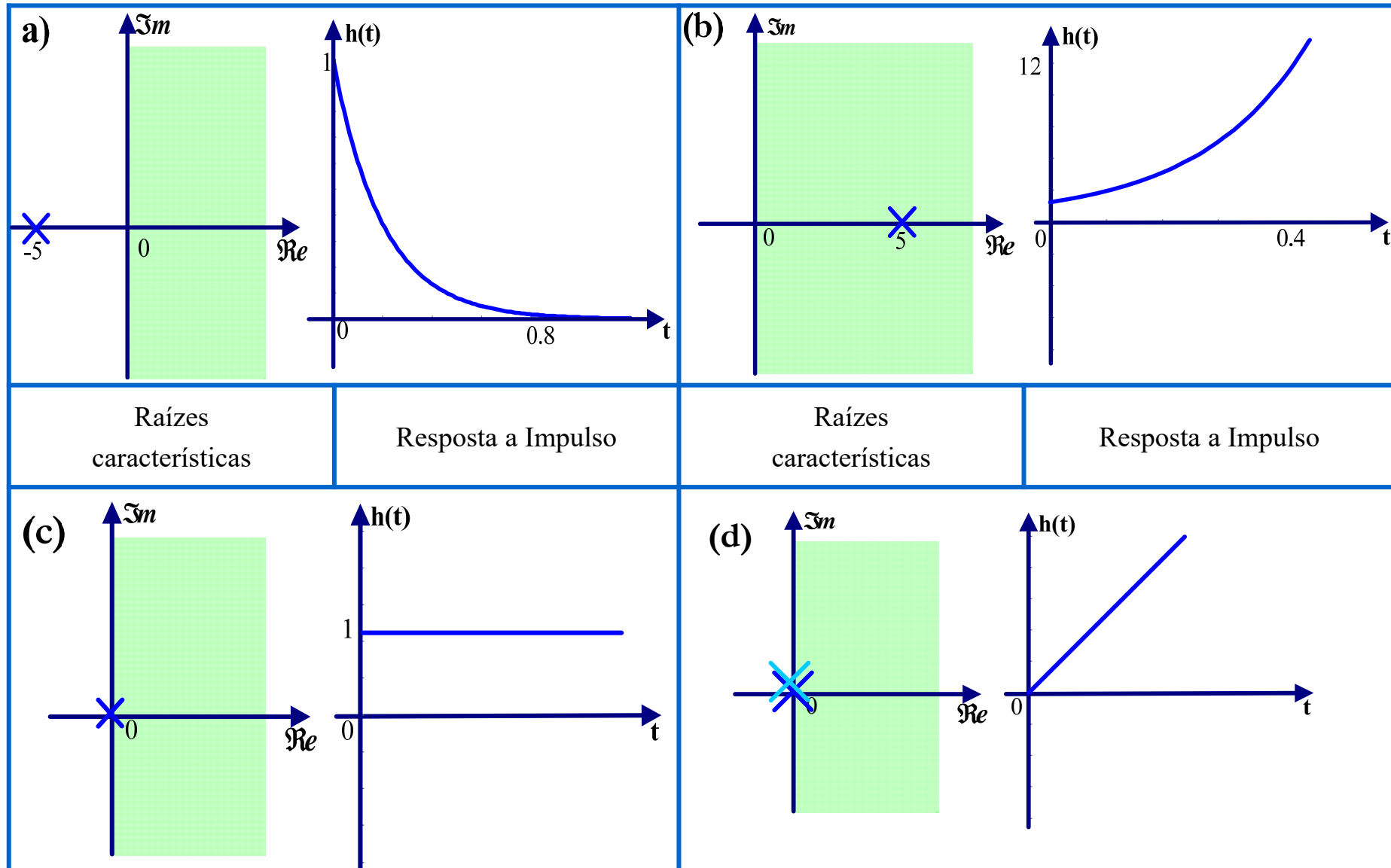
## ESTABILIDADE DO SISTEMA



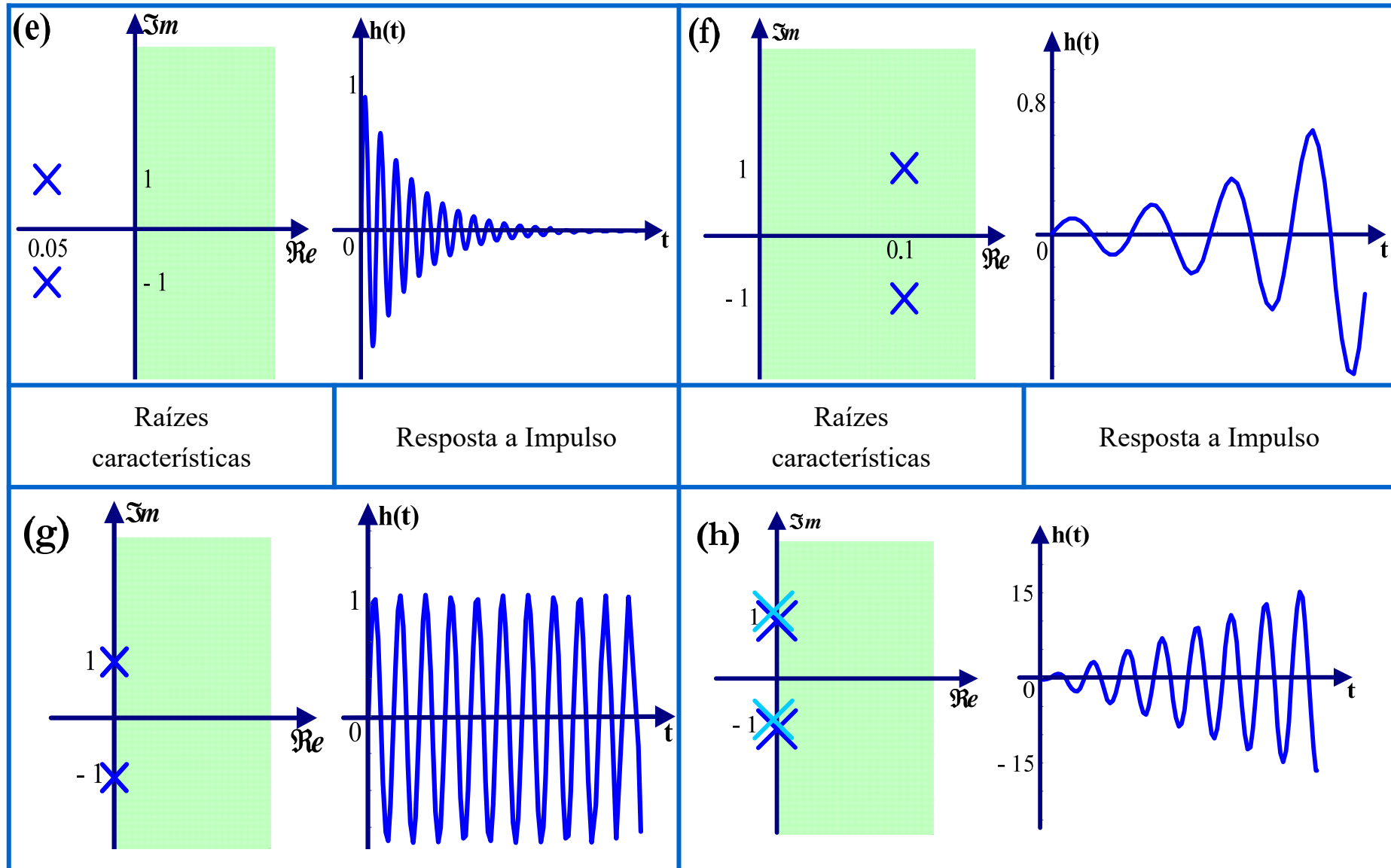
### Sumário

1. Um SLTIC é assintoticamente estável, se e só se, todas as raízes características pertencem ao semiplano complexo esquerdo (SCE).
2. Um SLTIC é instável se ocorrer pelo menos uma das seguintes condições: (i) pelo menos uma raiz pertence ao semiplano complexo direito (SCD), (ii) existem raízes repetidas (de multiplicidade superior a 1) no eixo imaginário.
3. Um SLTIC é marginalmente estável, se e só se não existem raízes em SCD e existem raízes distintas (não repetidas) no eixo imaginário.

# LOCALIZAÇÃO DAS RAÍZES CARACTERÍSTICAS E CORRESPONDENTE RESPOSTA A IMPULSO



# LOCALIZAÇÃO DAS RAÍZES CARACTERÍSTICAS E CORRESPONDENTE RESPOSTA A IMPULSO



- resposta **natural** contém toda a contribuição dos termos característicos do sistema, da resposta total;
- resposta **forçada** é composta pelos termos não característicos.

O conhecimento das raízes características e logo do seu posicionamento no plano complexo  $(s = \sigma + j\omega)$  dá-nos a informação essencial do comportamento dinâmico do sistema, designadamente:

- Frequência natural não amortecida e factor de amortecimento (sistema de 2ª ordem)
- Constante de tempo (sistema de 1ª ordem)
- Pólos dominantes, ordem do sistema ...
- E daqui podemos concluir quanto à “constante de tempo do sistema”, das possibilidades de ocorrência de ressonância no sistema, etc...



# FUNÇÃO DE TRANSFERÊNCIA

$$L[y(t)] = L_A[u(t)]$$

- para condições iniciais nulas:  $L(s)Y(s) = L_A(s)U(s)$

$$H(s) = \frac{Y(s)}{U(s)} = \frac{L_A(s)}{L(s)}$$

$$\downarrow \mathcal{L}^{-1}$$

$$y(t) = h(t) * u(t) \rightarrow \text{resposta a c/ iniciais nulas}$$

O denominador de  $H(s)$  é  $L(s)$ , ou seja o polinómio característico do sistema. Isto significa que os pólos de  $H(s)$  são as raízes características do sistema

## RESPOSTA EM FREQUÊNCIA

- resposta em frequência:  $H(s)_{/s=j\omega} = H(j\omega) = |H(j\omega)| \times e^{j\phi(\omega)}$
- resposta em **regime permanente** de um SLIT estável a uma entrada sinusoidal :

$$\begin{cases} u(t) = A \times \sin(\omega_0 t) \\ y(t) = A \times |H(j\omega_0)| \times \sin[\omega_0 t + \phi(\omega_0)] \end{cases}$$

- gráfico de  $|H(j\omega)|$  em função de  $\omega$ : *característica de amplitude*.

$$\text{em dB: } |H(j\omega)|_{dB} = 20 \log |H(j\omega)|$$

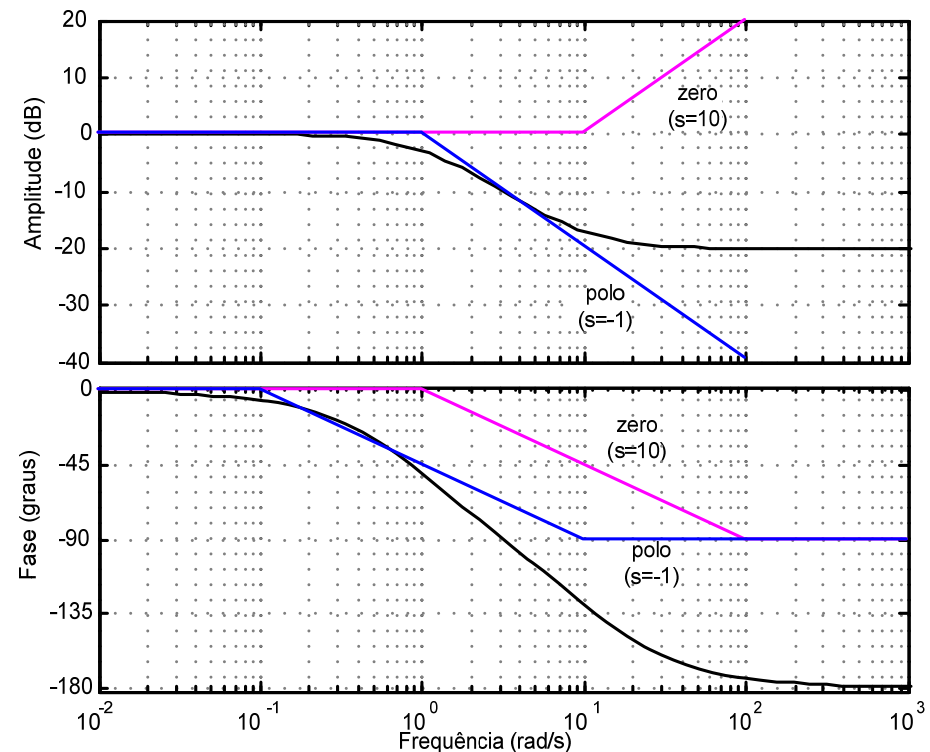
- gráfico de  $\arg(H(j\omega))$  em função de  $\omega$ : *característica de fase*.

# SISTEMA DE FASE NÃO MÍNIMA

(sistema com zeros no semi-plano complexo direito)

## Exemplo:

$$H(j\omega) = \frac{1 - \frac{j\omega}{10}}{1 + j\omega}$$
$$\arg H(j\omega) = \arctan\left(-\frac{\omega}{10}\right) - \arctan \omega$$
$$= -\arctan\left(\frac{\omega}{10}\right) - \arctan \omega$$



- Observe que no que diz respeito à fase, o zero no semiplano complexo direito comporta-se como um pólo no semiplano esquerdo. O zero no semiplano complexo direito provoca uma variação de fase de  $-\pi/2$  rad.
- Enquanto que um sistema de fase mínima é completamente caracterizado através da característica de amplitude da sua resposta de frequência, num sistema de fase não mínima são necessárias as características de amplitude e de fase para determinar de forma única a função de transferência do sistema.